



Réunion GDR ISIS – Transformées Géométriques Multirésolution – 1^{er} Avril 2011 - Paris

Transformées en ondelettes
analytiques pour les images.

Raphaël Soulard, P. Carré, C. Fernandez
Laboratoire Xlim-SIC , Poitiers

PLAN

- Contexte : Ondelettes + Signal analytique
- Ondelettes quaternioniques (\mathbb{H})
- QWT : Applications
- Ondelettes monogènes (\mathcal{G}_3)
- Ondelettes monogènes couleur
- Conclusion

Limites des ondelettes classiques

AVANTAGES

- Separation des details
- Différentes échelles

APPLICATIONS

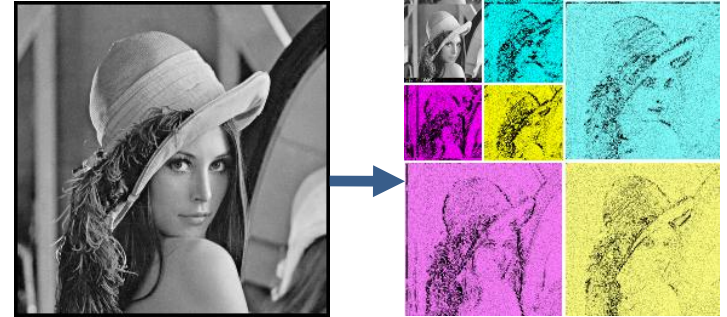
- JPEG-2000, MPEG-4 ...
- RdF, Classification ...

INCONVENIENTS

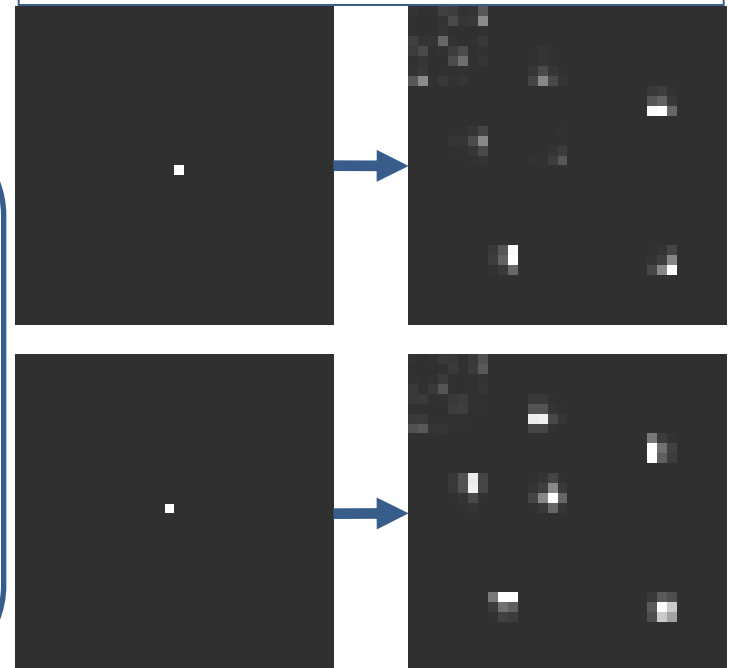
- **Oscillations** autour des singularités
- **Variance** / translation – Pas de **phase**
- Faible **directionnalité**

ALTERNATIVES

Ridgelets, Bandlets, Contourlets ...



Variance par translation



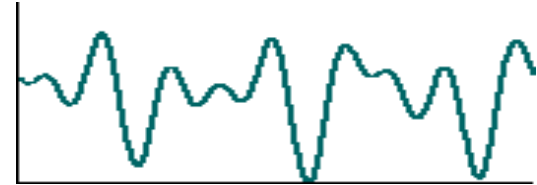
Signal Analytique

Transformée de Hilbert : $s_H(t) = s(t) * 1/\pi t$ "déphasage pur"

Signal original
 $s(t)$



Signal déphasé
 $s_H(t)$



Signal analytique :

$$s_A(t) = s(t) + i s_H(t)$$

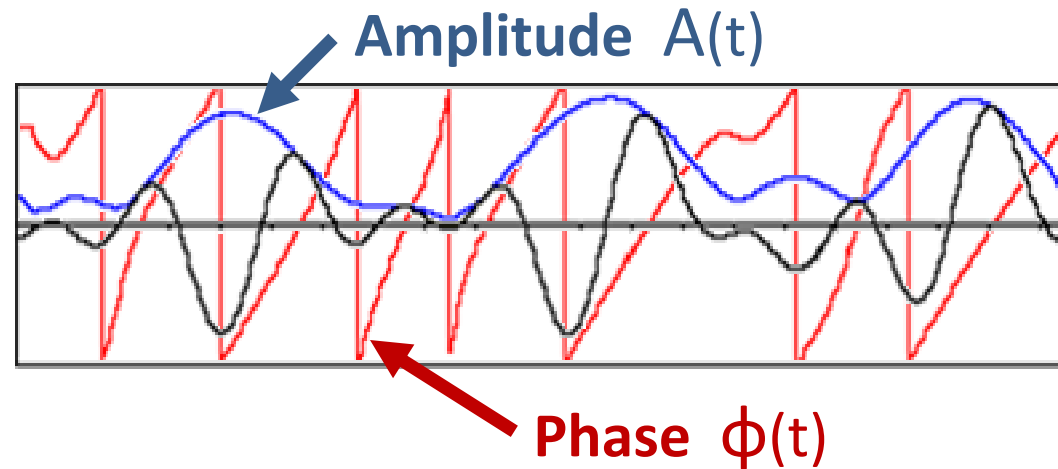
$$= A(t) e^{i \phi(t)}$$

\mathbb{C}

Donc :

$$s(t) = A(t) \cos(\phi(t))$$

= Représentation "AM/FM"



Phase

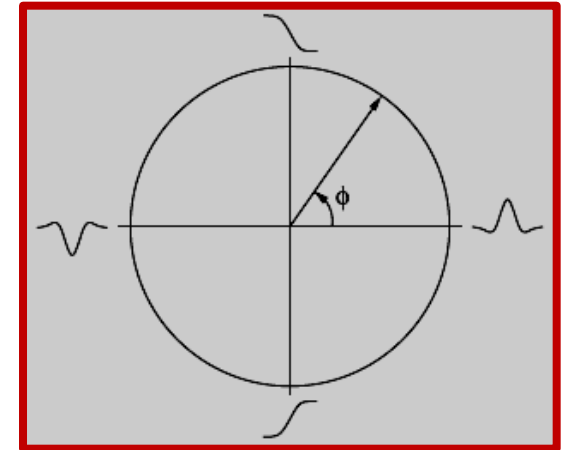
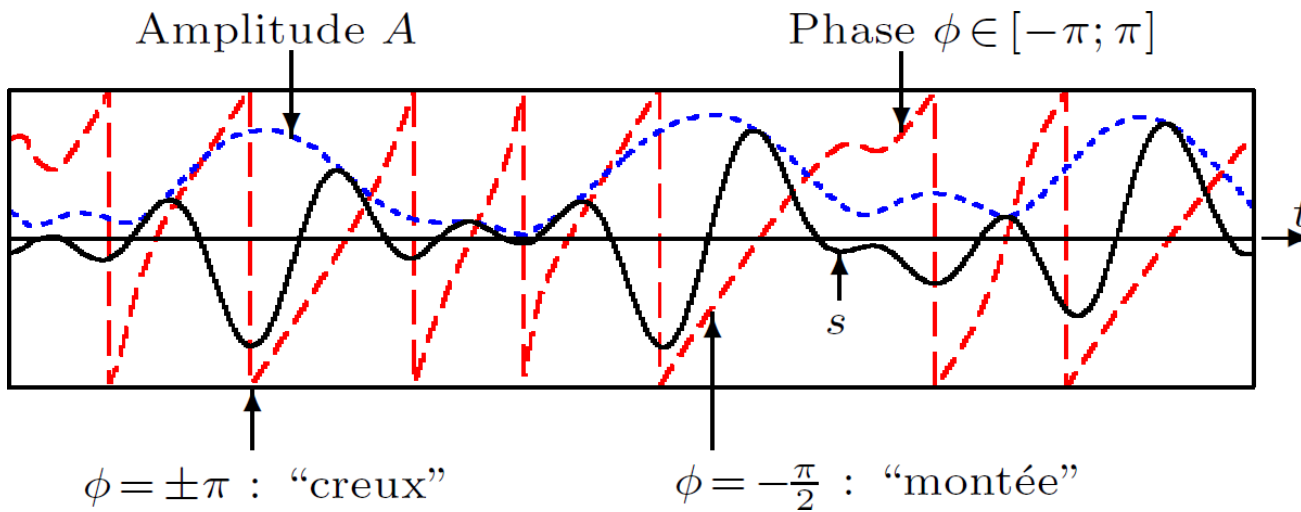
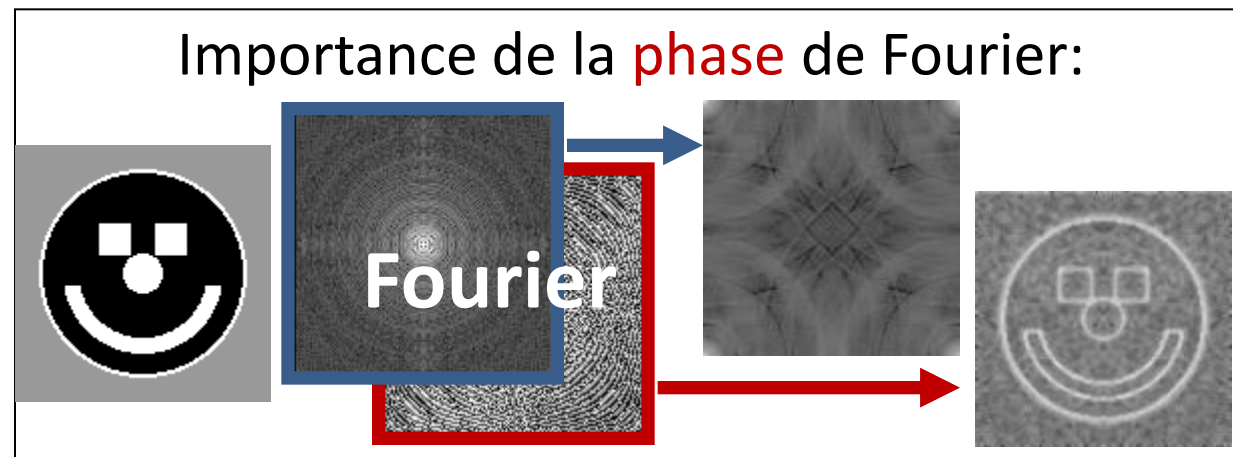


Image tirée de la thèse de T. Bülow



Phase = "Structure"
Amplitude = "Présence"

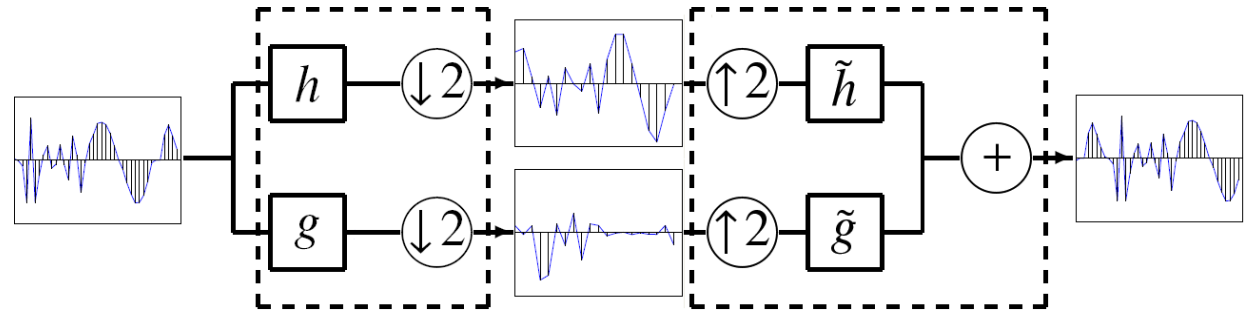
Importance de la **phase** de Fourier:



→ Ondelettes analytiques ?
→ 2D (images)?

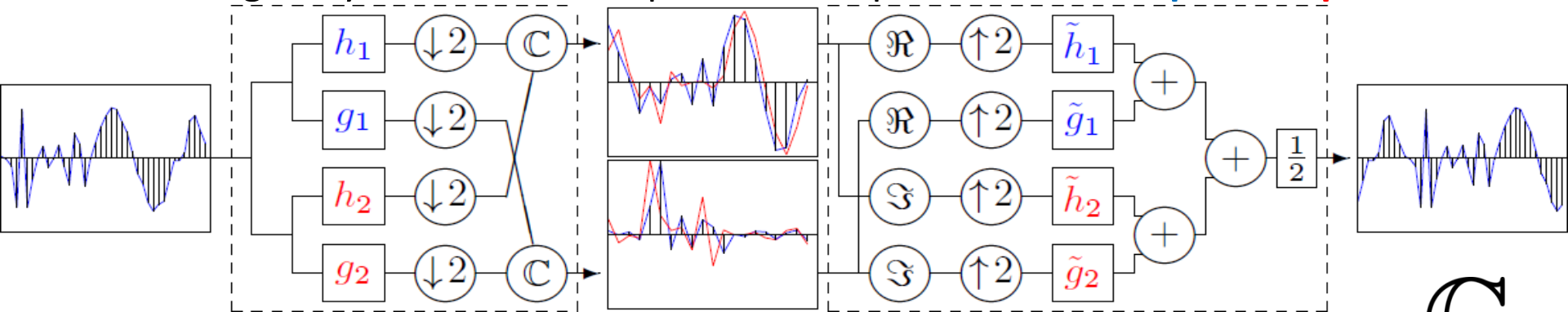
Ondelettes analytiques 1D : Dual-Tree

Ondelettes classique :
(Mallat 1989)



Variance/translation \Leftrightarrow échantillonnage critique

N. Kingsbury 2001 : **2** décompositions en parallèle - filtres **pairs/impairs** :

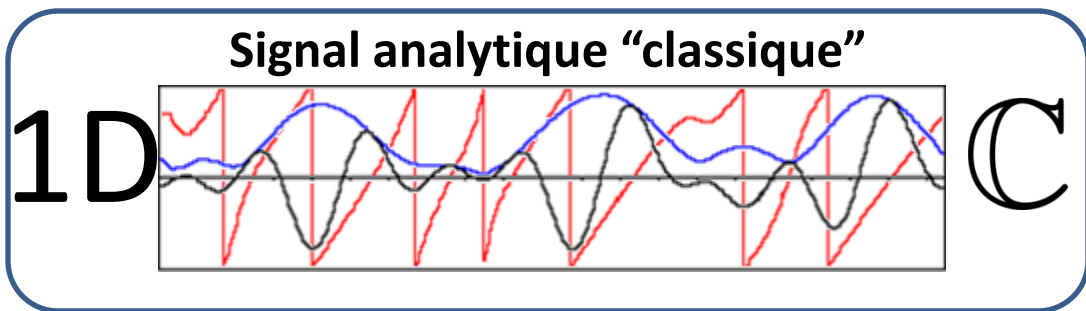


→ Invariance par translation (module) + Equivalence avec Hilbert



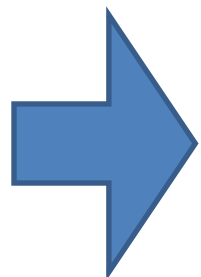
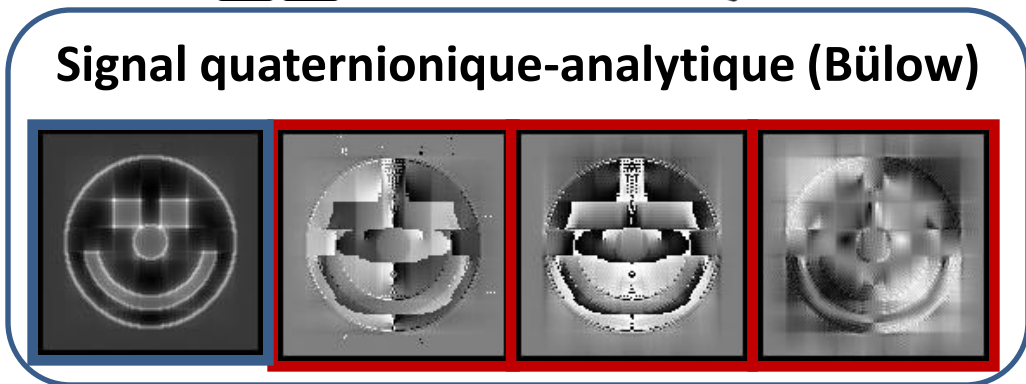
→ Ondelettes **analytiques** implantables : Amélioration de la DWT
Phase ? 2D ? Géométrie ?

Généralisation 2D



\mathbb{H}

\mathcal{G}_3



- Notion nouvelle de "phase 2D"
- Lien / structures géométriques

Phase = "Structure"
Amplitude = "Présence"

Algebre des quaternions – Signaux 2D

H

Generalization des nombres complexes,
3 parties imaginaires : **i, j, k**.

$$\mathbf{ij = -ji = k} \quad \mathbf{i^2 = j^2 = k^2 = 1}$$

Forme cartésienne : $q = a + bi + cj + dk$

Forme polaire : $q = |q|e^{i\varphi}e^{j\theta}e^{k\psi}$

3 angles

$$|q| = \sqrt{a^2 + b^2 + c^2 + d^2}$$

$$\varphi = \frac{1}{2} \arctan\left(\frac{2(cd + ab)}{a^2 - b^2 + c^2 - d^2}\right)$$

$$\theta = \frac{1}{2} \arctan\left(\frac{2(bd + ac)}{a^2 + b^2 - c^2 - d^2}\right)$$

$$\psi = -\frac{1}{2} \arcsin(2(bc - ad))$$

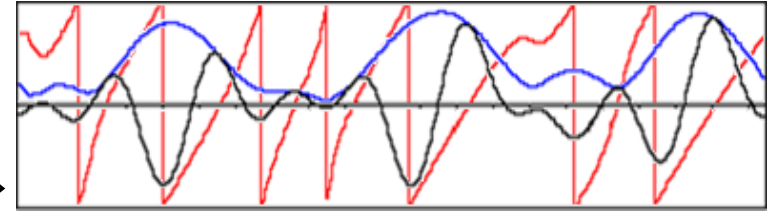
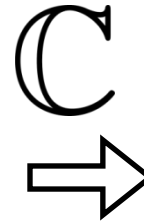
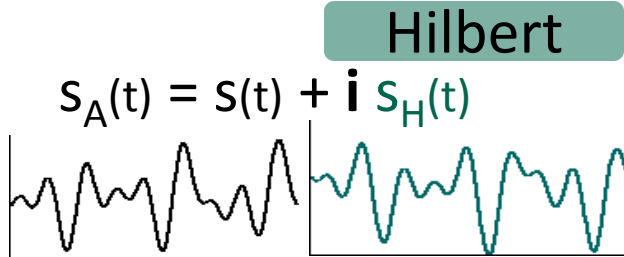
$$(\varphi, \theta, \psi) \in [-\pi, \pi] \times \left[-\frac{\pi}{2}, \frac{\pi}{2}\right] \times \left[-\frac{\pi}{4}, \frac{\pi}{4}\right]$$

Thomas Bülow (thèse – 1999) :

- “Les complexes ne sont pas suffisants pour les signaux 2D”
- Transf. De Fourier quaternionique (2D)
- Signal quaternionique-analytique (2D)

Signal Quaternionique Analytique

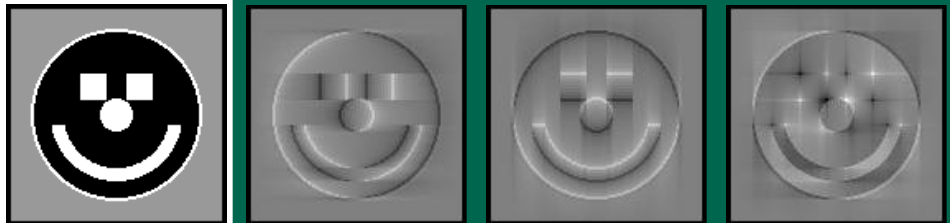
1D
Signal analytique classique



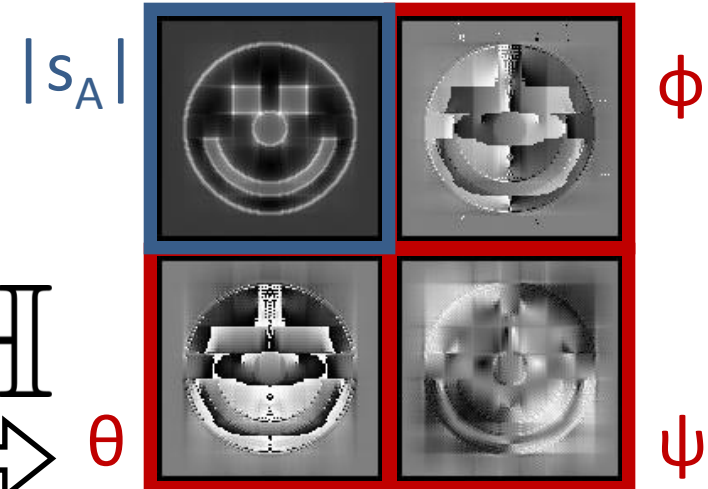
Amplitude = "Presence"
Phase = "Structure"

2D Signal quaternionique-analytique
(T. Bülow 1999)

$$S_A(x,y) = S(x,y) + \mathbf{i} S_{H1}(x,y) + \mathbf{j} S_{H2}(x,y) + \mathbf{k} S_{HT}(x,y)$$



Hilbert 2D séparable



Ondelettes?

Ondelettes quaternioniques / Dual-Tree \mathbb{H}

Definition continue:

$$\psi^H(x,y) = \psi_1^H(x,y) + \mathbf{i} \psi_2^H(x,y) + \mathbf{j} \psi_3^H(x,y) + \mathbf{k} \psi_4^H(x,y)$$

Ond. réelle \rightarrow extension analytique
(transformée redondante)

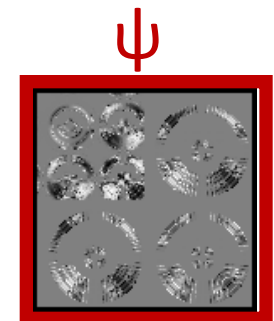
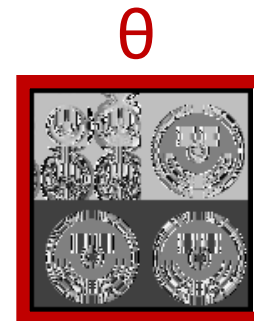
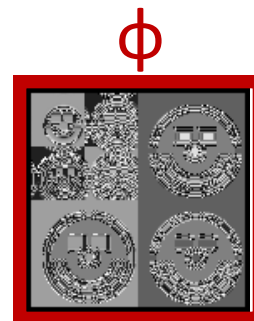
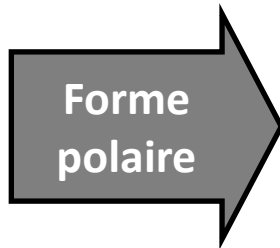
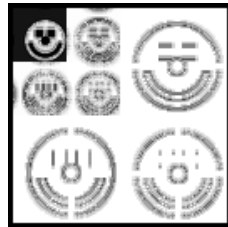
$$\psi^V(x,y) = \psi_1^V(x,y) + \mathbf{i} \psi_2^V(x,y) + \mathbf{j} \psi_3^V(x,y) + \mathbf{k} \psi_4^V(x,y)$$

$$\psi^D(x,y) = \psi_1^D(x,y) + \mathbf{i} \psi_2^D(x,y) + \mathbf{j} \psi_3^D(x,y) + \mathbf{k} \psi_4^D(x,y)$$

Implantation 2D séparable du Dual-Tree

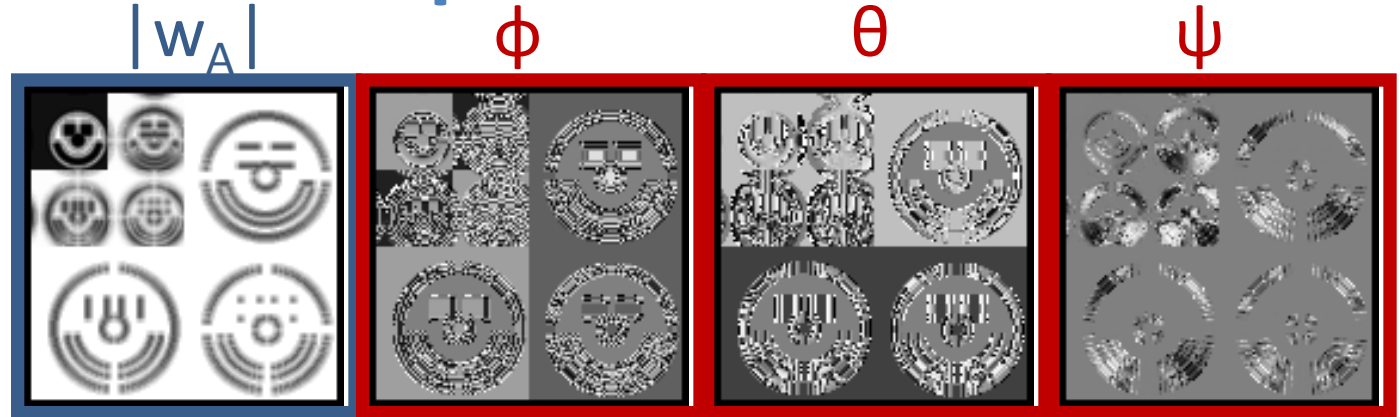
\rightarrow 4 bancs de filtres \Leftrightarrow Hilbert 2D \rightarrow Ondelettes 2D analytiques

$$\text{QWT} = \text{even-even} + \mathbf{i} \text{odd-even} + \mathbf{j} \text{even-odd} + \mathbf{k} \text{odd-odd}$$



Interprétation

Amplitude
inv./translation :
« Presence
d'éléments 2D »



Texture (?)

Fourier quaternionique (Bülow)

Shift theorem :

$$f_2(x, y) = f_1(x - r_x, y - r_y) \Leftrightarrow \begin{pmatrix} \varphi_2(u, v) \\ \theta_2(u, v) \end{pmatrix} = \begin{pmatrix} \varphi_1(u, v) - 2\pi u r_x \\ \theta_1(u, v) - 2\pi v r_y \end{pmatrix}$$

→ (ϕ, θ) = Décalage local → Flot optique

Littérature / QWT très pauvre :

T. Bülow 1999 : Signal quaternionique,

W. Chan et. al. 2004 : QWT,

E. Bayro-Corrochano 2006 : QWT continue,

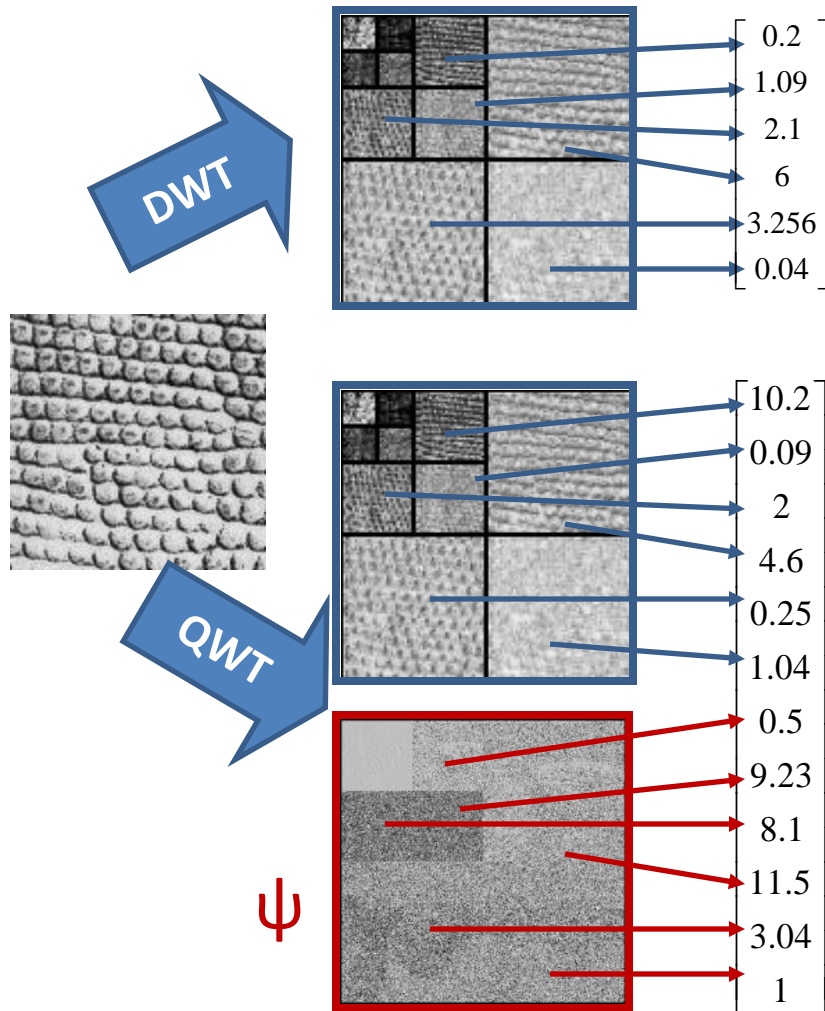
J. Zhou et. al. 2007 : Flot optique.

Objectif du travail :

- Caractérisation de la transformation
- Utilisation dans un schéma de RdF + compression

Application 1 : Classification de Textures

Extraction du descripteur *classique* : 1 mesure / sous-bande



Mesure sur module :

$$m = \sqrt{\frac{1}{N} \sum_{i,j} (M_{i,j} - \mu)^2}$$

écart-type

Mesure sur ψ :

$$m = \sqrt{\sum_{i,j} |q_{i,j}| (\psi_{i,j} - \mu)^2}$$

avec $\sum_{i,j} |q_{i,j}| = 1$

écart-type pondéré

Reconnaissance :

DWT : **70%**

QWT module seul : 70%
 QWT phase seule : 70%
 CWT module : 70%

QWT : **80%**

Application 2 : Compression



DWT

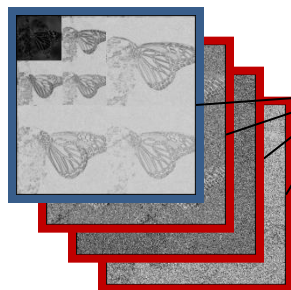
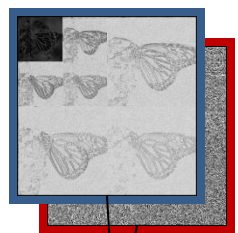
QWT

PB / QWT : transformée **redondante**

MAIS : 1) Info mieux répartie
2) codage *léger* de la **phase**.

⇒ algo. quantification **Amplitude/Phase**

- Conserve bien les structures,
- Reconstruit moins bien les « textures » (PSNR)

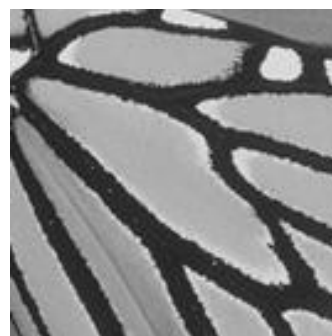
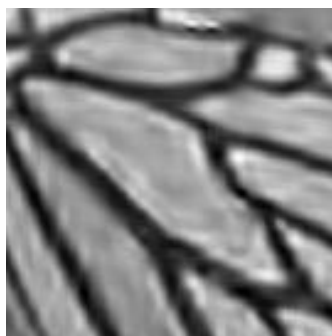


Quantif.
4 bpp

Bon résultat / forte quantification

(Signe)

Quantif.
4 bpp



(Zooms)

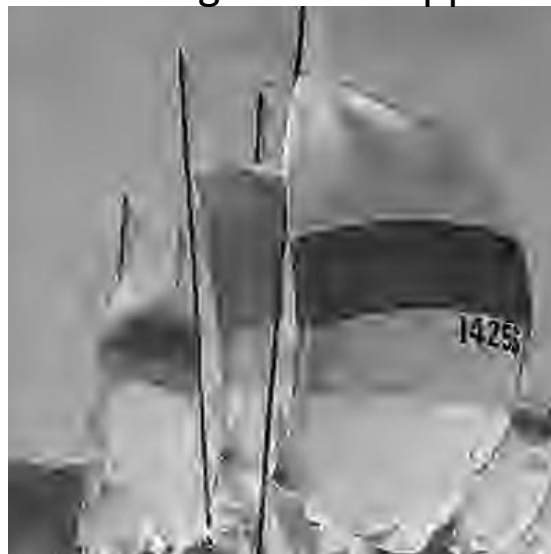
Original (8 bpp)

Application 2 : Compression

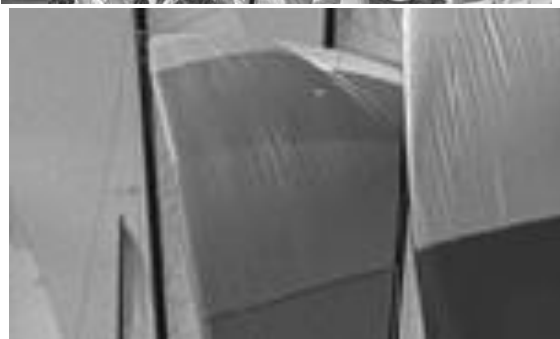
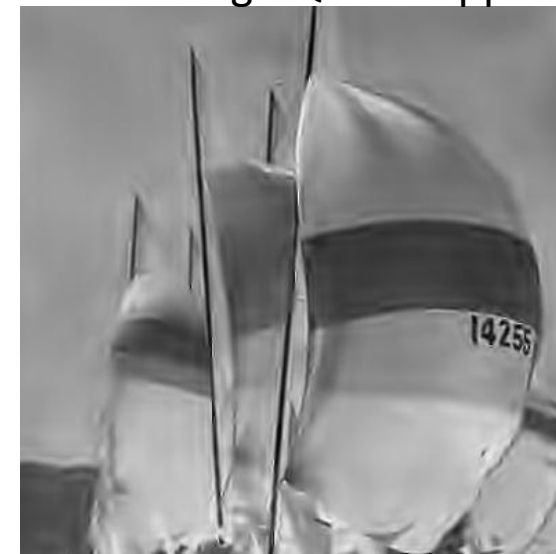
Original



Codage DWT 5 bpp



Codage QWT 5 bpp



et dans une chaîne de codage complète?

→ Intégration dans un algo. *type* EZW : difficultés / organisation du flux

- Perspectives :
- Optimiser codage phase (beaucoup de paramètres)
 - Hierarchiser les données (transmission MIMO)

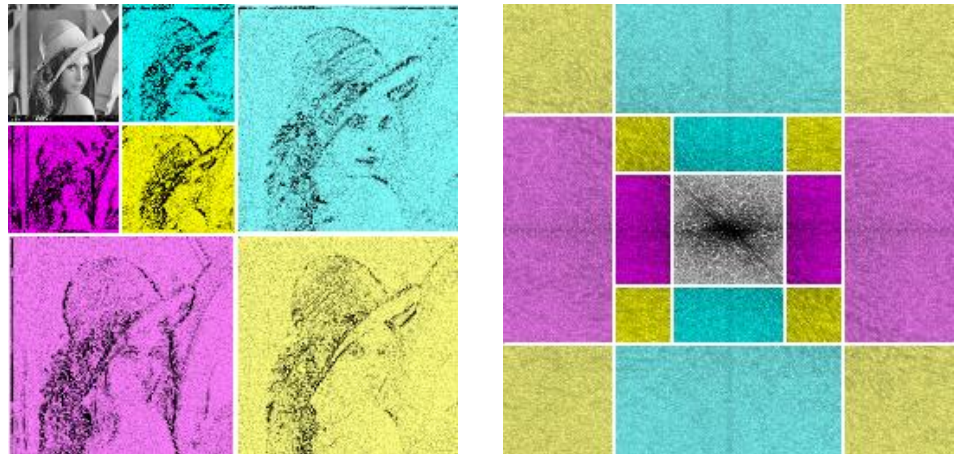


Bilan QWT

- Avancée : Compréhension phase QWT
- QWT \succ DWT en classification de textures et en compression.

LIMITES

- Variance / Rotation
- Structure séparable
- Phase compliquée



Solution : Signal monogène ?

→ Invariant par rotation

→ Facile à interpréter

→ Défini dans \mathcal{G}_3

Algèbre Géométrique

\mathcal{G}_3

$$\mathcal{G}_3 = \{\text{“Multivecteurs”}\}$$

$$M = \underbrace{M_0 1}_{\text{scalaire}} + \underbrace{M_1 e_1 + M_2 e_2 + M_3 e_3}_{\text{vecteur}} + \underbrace{M_{23} e_{23} + M_{31} e_{31} + M_{12} e_{12}}_{\text{bivecteur}} + \underbrace{M_{123} I_3}_{\text{pseudoscalaire}}$$

Opérations

Addition : $a + b$

Produit interne : $a \wedge b$

Produit externe : $a \cdot b$

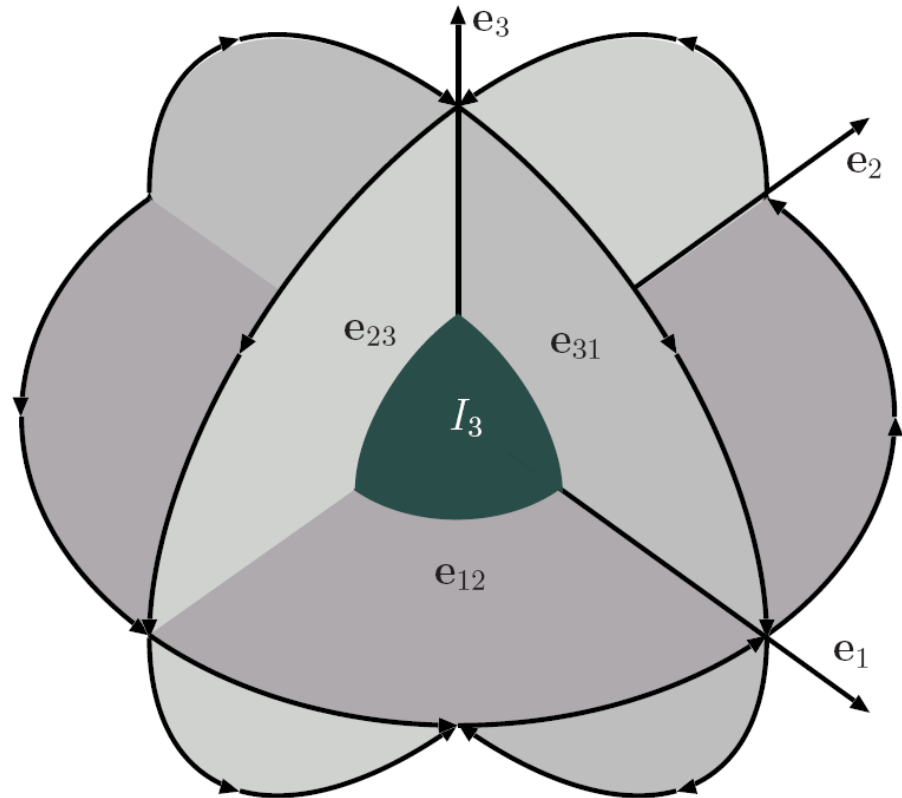
Produit géométrique : ab

Spineurs : analogie avec $e^{i\phi}$ de \mathbb{C} .

« **Opérateur de rotation 3D** »

(Isomorphe à \mathbb{H})

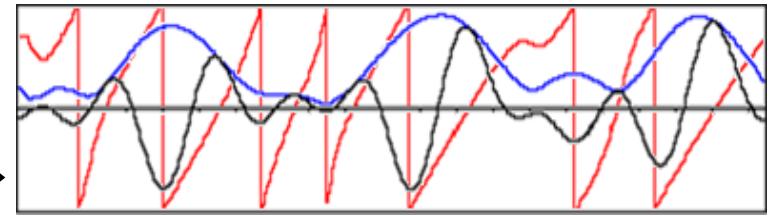
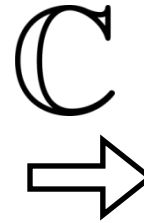
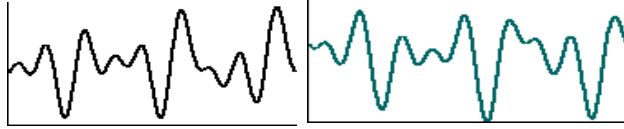
$$s = \underbrace{a 1}_{\text{scalaire}} + \underbrace{b e_{23} + c e_{31} + d e_{12}}_{\text{bivecteur}}$$



Signal Monogène

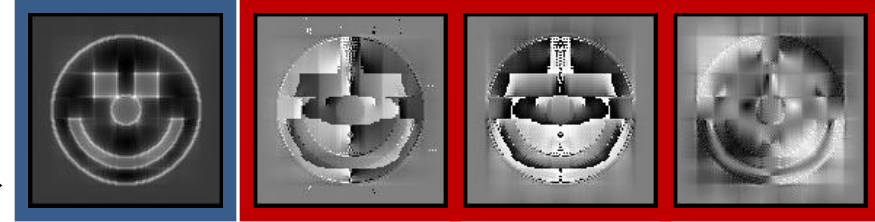
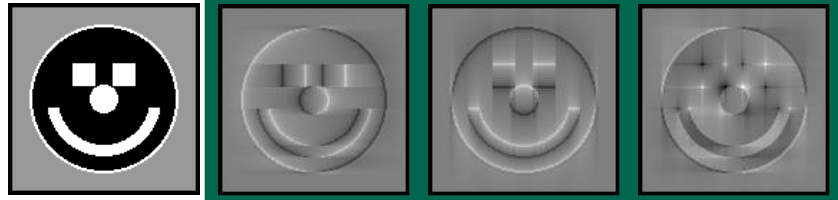
1D Signal analytique classique

Hilbert



2D Signal quaternionique-analytique

Hilbert 2D séparable



2D Signal monogénique

Riesz 2D



Plus facile à interpréter!



Signal Monogène (Felsberg, 2001)

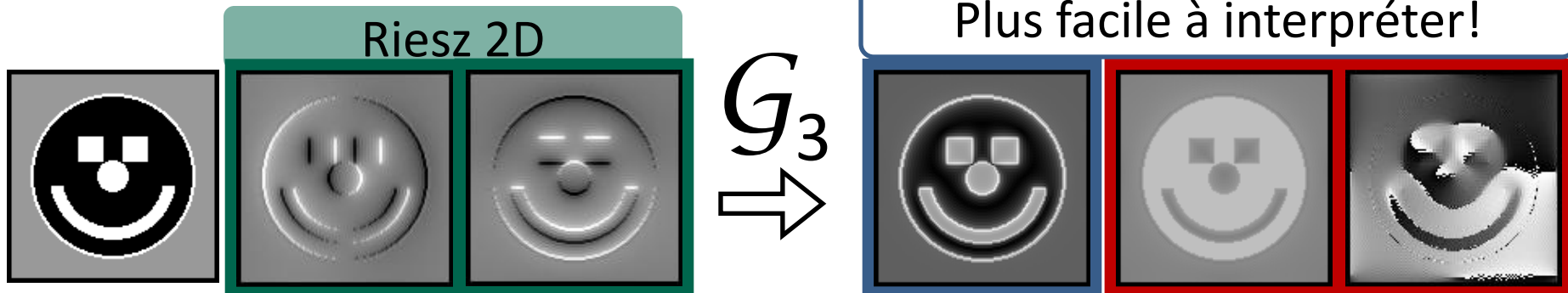
Point de vue *signal* :

-Transf. Hilbert $\mathcal{H}\{f\} = \frac{1}{\pi t} * f(t) \xleftrightarrow{\mathcal{F}} -j \frac{\omega}{|\omega|} \hat{f}(\omega) \Leftrightarrow$ “déphasage pur” (1D)

-Transf. Riesz $\mathcal{R}\{f\} = \frac{x + jy}{2\pi(x^2 + y^2)^{\frac{3}{2}}} * f(x, y) \xleftrightarrow{\mathcal{F}} \frac{-j\omega_x + \omega_y}{\sqrt{\omega_x^2 + \omega_y^2}} \hat{f}(\omega_x, \omega_y)$
 \Leftrightarrow “déphasage pur 2D isotropique”

Point de vue *mathématique* :

- Signal analytique = “extension holomorphe restreinte à l’axe réel”
- “Fonction holomorphe” \Leftrightarrow “Champ harmonique 2D” (Laplacien 2D)
- Généralisation avec les champs harmoniques 3D (Laplacien 3D) -> Riesz



Phase Monogène

 \mathcal{G}_3

M. Felsberg 2001 :
Equivalence entre **Riesz** et
Hilbert 1D dans le domaine de **Radon**



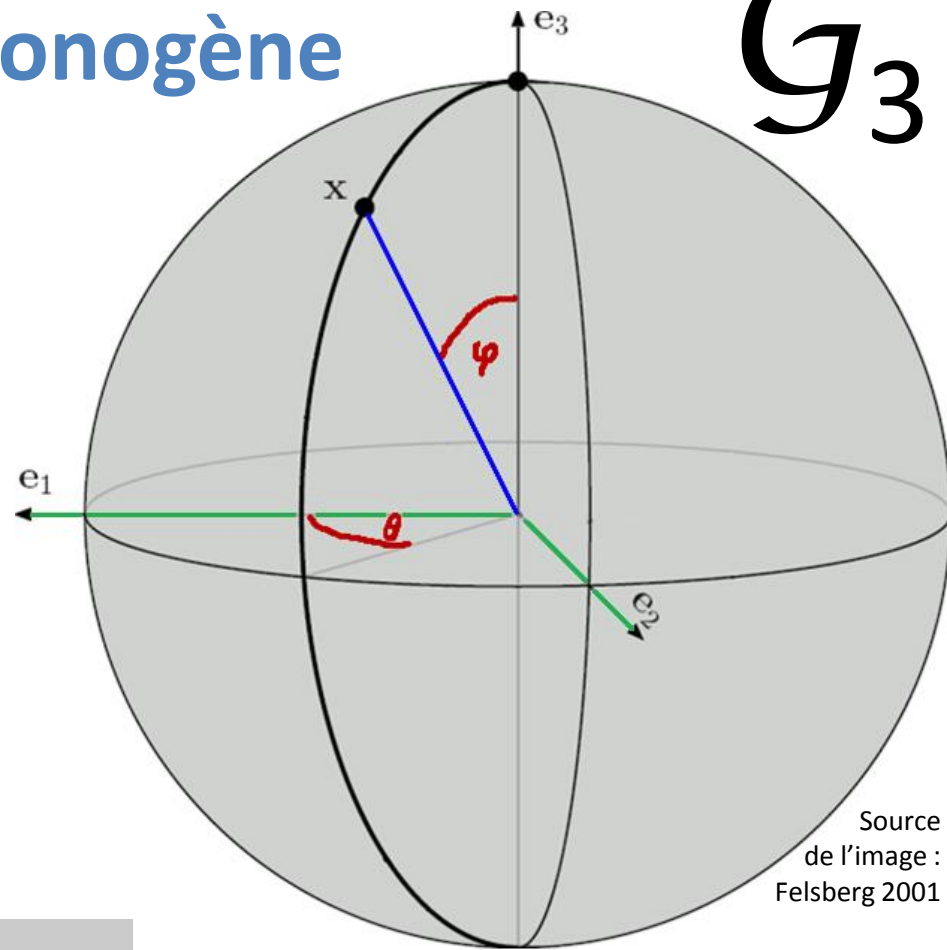
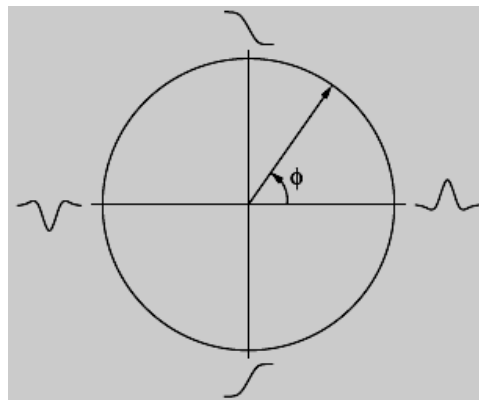
Présence

Orientation

Phase 1D



Résoud le pb de
directionnalité / QWT



Source
de l'image :
Felsberg 2001

Ondelettes?

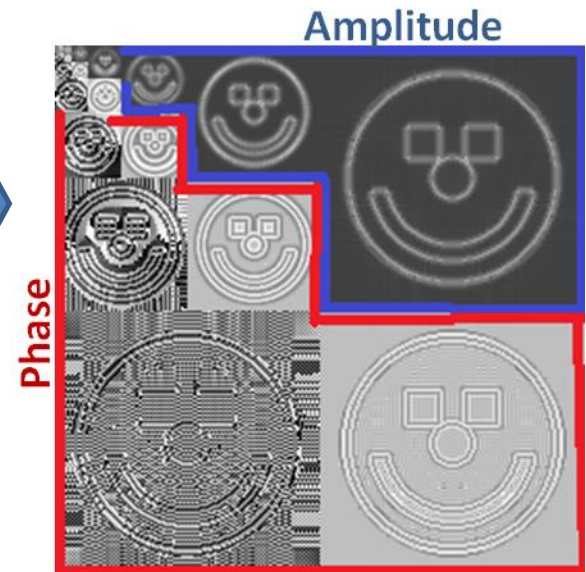
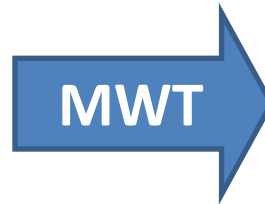
Ondelettes Monogènes

IDEE : - Transformée non-séparable (isotropique?)

- Une seule sous-bande par échelle

- Coefficients « monogènes » = module + phase + orientation

M. Unser *et al.* 2009



Ondelettes Monogènes (M. Unser)

1 Transformée réelle // 1 Transformée complexe (« Riesz »)

- Fonction d'échelle : (spline polyharmonique) -> approx. isotropique	$\varphi_\gamma \xleftrightarrow{\mathcal{F}} \frac{(4(\sin^2 \frac{\omega_1}{2} + \sin^2 \frac{\omega_2}{2}) - \frac{8}{3} \sin^2 \frac{\omega_1}{2} \sin^2 \frac{\omega_2}{2})^{\frac{\gamma}{2}}}{\ \boldsymbol{\omega}\ ^\gamma}$
- Ondelette 1 (réelle) :	$\psi(\mathbf{x}) = (-\Delta)^{\frac{\gamma}{2}} \varphi_{2\gamma}(2\mathbf{x})$
- Ondelette 2 : (Partie « Riesz » complexe)	$\psi' = - \left(\frac{x}{2\pi\ \mathbf{x}\ ^3} * \psi(\mathbf{x}) \right) + j \left(\frac{y}{2\pi\ \mathbf{x}\ ^3} * \psi(\mathbf{x}) \right)$

- Décomposition en Pyramide dyadique (trame)
- Banc de filtres discret non-séparable
- Approx. Isotropique et steerable
- Reconstruction optimale / algo. « *subband regression* »
- Redondance = 4:1

Ouvert : Le filtre « Riesz » correspondant semble non discret...

Ondelettes Monogènes

Pistes

– Version isotropique

Radon discrète + Dual-Tree

« Riesz \Leftrightarrow Radon + Hilbert »

(Ridgelets?)

– Version non redondante :

Définir un banc de filtres à *échantillonnage critique*

dyadique H_0, H_1, H_2, H_3 tel que

« $(H_2, H_3) = \text{Riesz}\{H_1\}$ »

(impasse?)

– Extension couleur

Algèbres géométriques

Ondelettes Monogènes Couleur

-> Signal monogène couleur (Demarcq 2010) :
Extension dans \mathcal{G}_5 du signal monogène de M. Felsberg

Généralisation des équations de Cauchy-Riemann (fonctions holomorphes)

Signal analytique 1D,
Défini dans \mathbb{C} ou dans \mathcal{G}_2

$$\begin{cases} \Delta u = \frac{\partial^2 u}{\partial x^2} + \frac{\partial^2 u}{\partial y^2} = 0 & \text{if } y > 0 \\ e_2 \frac{\partial u}{\partial y} = f(x) & \text{if } y = 0 \end{cases}$$

Signal monogène 2D,
Défini dans \mathcal{G}_3

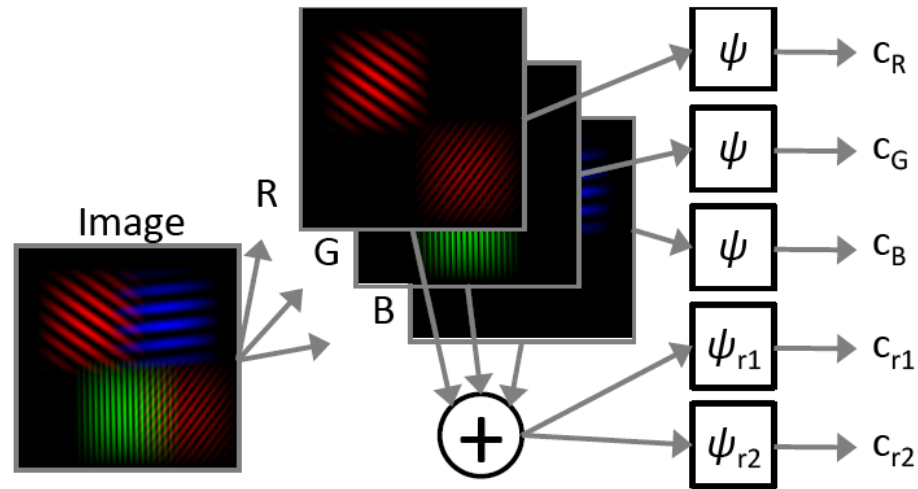
$$\begin{cases} \Delta u = \frac{\partial^2 u}{\partial x^2} + \frac{\partial^2 u}{\partial y^2} + \frac{\partial^2 u}{\partial z^2} = 0 & \text{si } z > 0 \\ e_3 \frac{\partial u}{\partial z} = f(x, y) & \text{si } z = 0 \end{cases}$$

Signal monogène couleur
- *Genre* marginal
- Pas de représentation polaire
- 1 Phase paramétrée

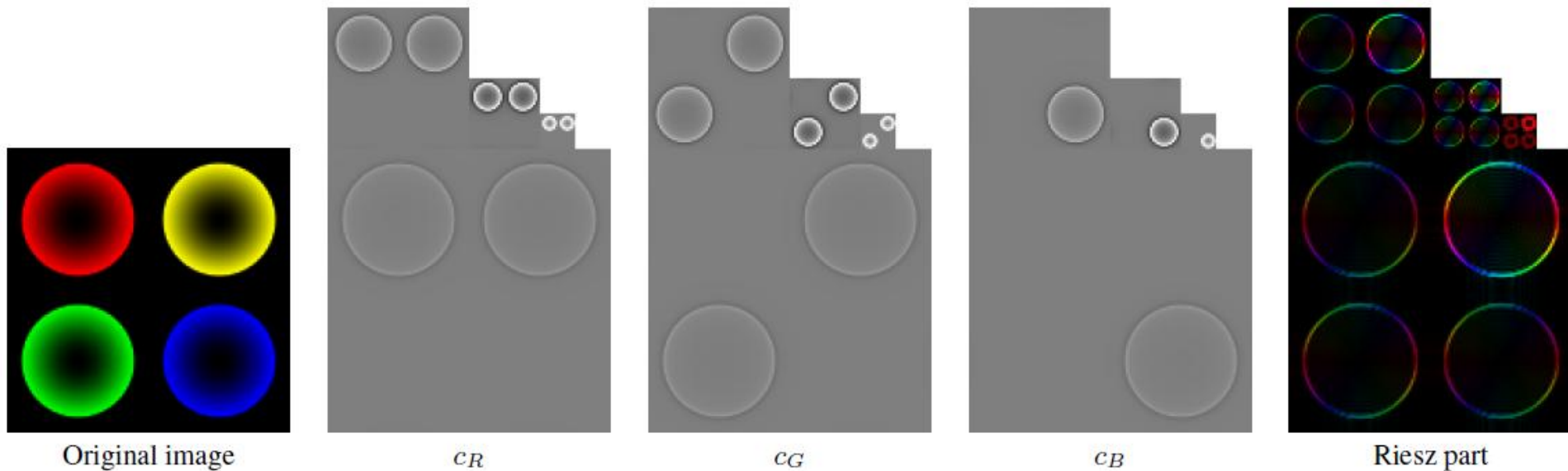
$$\begin{cases} \Delta u = \frac{\partial^2 u}{\partial x_1^2} + \frac{\partial^2 u}{\partial x_2^2} + \frac{\partial^2 u}{\partial x_3^2} + \frac{\partial^2 u}{\partial x_4^2} + \frac{\partial^2 u}{\partial x_5^2} = 0 \\ e_3 \frac{\partial u}{\partial x_3} + e_4 \frac{\partial u}{\partial x_4} + e_5 \frac{\partial u}{\partial x_5} = f(x_1, x_2) \end{cases}$$

Signal monogène 2D couleur (\mathcal{G}_5)

Ondelettes Monogènes Couleur



- Non-marginal (pas strictement...)
- Redondance 20:9 (~2.2)
- Analyse directionnelle



Original image

c_R

c_G

c_B

Riesz part

Ondelettes Monogènes Couleur

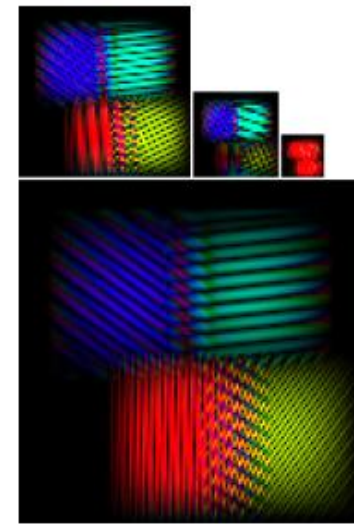
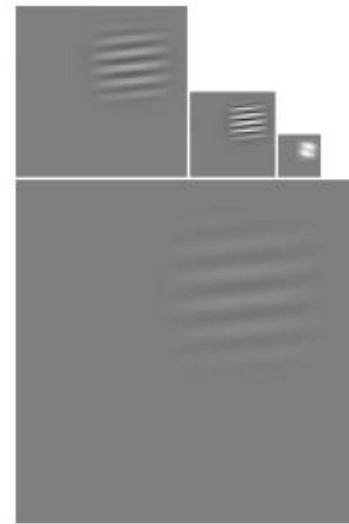
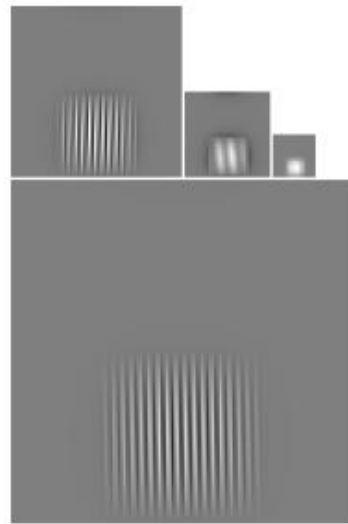
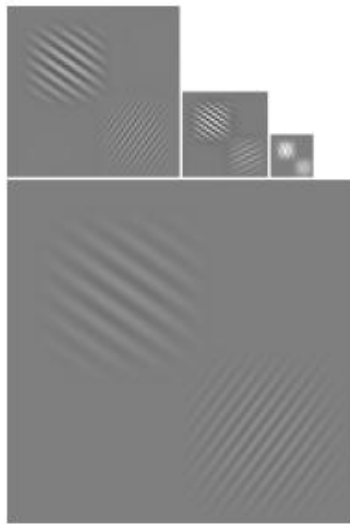
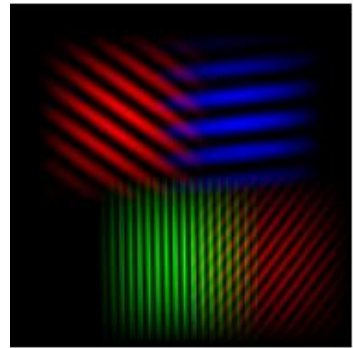
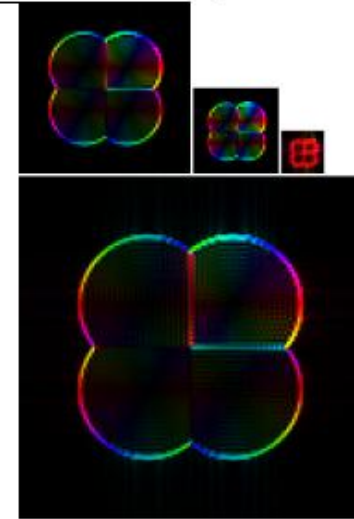
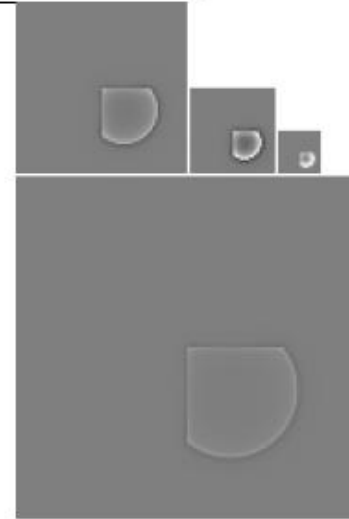
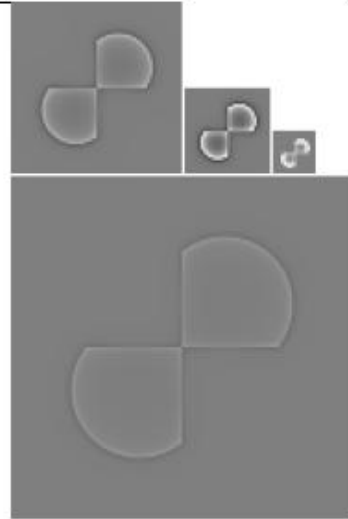
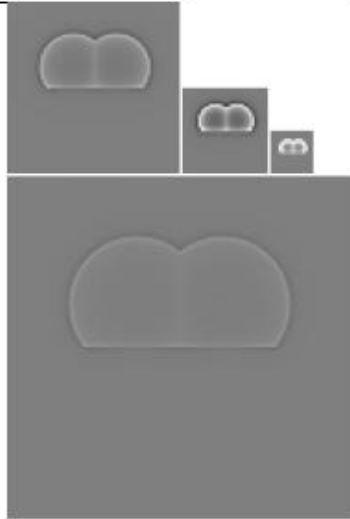
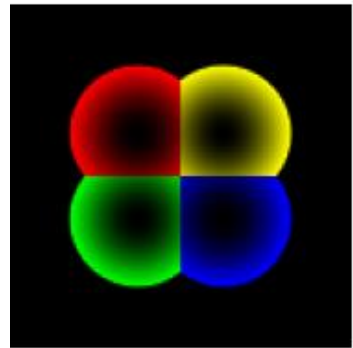
Original images

CR

CG

CB

Riesz part



Conclusion

- QWT : **amélioration de DWT** / traitement du signal dans H
 - Notion de **phase + invariance** / translation
- Validation pratique : classification, compression
 - Analyse locale des **structures** grâce à la phase
 - Représentation cohérente grâce à l'invariance
- MWT : Amélioration de la QWT / traitement du signal dans G3
- Ondelettes couleur non marginales

PERSPECTIVES

- Compression MWT
- Signal analytique couleur
- Analytique non redondant?
- Analytique discret? Hilbert/Riesz discret?

Merci de votre attention 😊